

# تحلیل و طراحی کنترل کننده بهینه به منظور دستیابی به میرایی ارتعاشی تیر هوشمند تیموشنکو در بازه های مختلف

مجتبی حسنلو<sup>۱</sup>, احمد باقری<sup>۲</sup>, فرید نجفی<sup>۳</sup>

<sup>۱</sup> کارشناس ارشد مهندسی مکانیک، دانشکده مکانیک، دانشگاه گیلان، MHasanlu@Webmail.Guilan.Ac.Ir

<sup>۲</sup> استاد گروه مکانیک دانشکده فنی، دانشکده مکانیک، دانشگاه گیلان، Bagheri@Guilan.Ac.Ir

<sup>۳</sup> دانشیار گروه مهندسی مکانیک دانشکده فنی، دانشکده مکانیک، دانشگاه گیلان، FNajafi@Guilan.Ac.Ir

چکیده

میرایی ارتعاشی تیر تیموشنکو براساس یافتن مکان، تعداد بهینه حسگر و عملگر پیزوالکتریک با استفاده از کنترلر LQR و الگوریتم MOPSO موضوع مورد بررسی در این تحقیق محاسبه شود. امروزه برای اینکه یک سازه دارای عمر، هزینه ساخت، مصرف انرژی قابلیت اطمینان بهینه ای باشد تلاش های فراوانی از سوی محققین این حوزه صورت پذیرفته است. یکی از تحقیقات تامین سازه هوشمند بهینه و کنترل شده با استفاده از حسگر و عملگر پیزوالکتریک است بگونه ای این حسگر و عملگر بتواند به محض دریافت یک ارتعاش توسط حسگر و با انتقال سیگنال ارتعاشی به کنترلر، بهترین بهره کنترل را براساس نوع نگرش طراحی شده و آنگاه سیگنال مناسی را به عملگر انتقال دهد. در واقع این عملگر است که تمام تلاش خود را برای خنثی سازی ارتعاش با عمر بیشتر و خوبی کمتر داشته باشد و بتواند هدف طراح را به بهترین نحوه تامین نماید. حال در این پژوهش با استفاده از الگوریتم MOPSO و تعریف متغیرهای طراحی، بهترین تعداد و مکان جهت نصب حسگر و عملگر پیزوالکتریک در پایین و بالای سازه تیر یکسر گیردار در بازه ای مشخص را امکان پذیر جستجو نموده و آنگاه یک مدل بهینه از طراحی سازه هوشمند ارائه نماید.

کلیدواژه‌گان

LQR، میرایی ارتعاشی، تیر تیموشنکو، مکان و تعداد بهینه پیزوالکتریک، الگوریتم MOPSO

## Optimal Analysis and Design Controller for Suppressing Vibration Smart Timoshenko Beam by Using Various Intervals

M.Hasanlou<sup>1\*</sup>, A.Bagheri<sup>2</sup>, F.Najafi<sup>3</sup>

<sup>1,2,3</sup> Department of Mechanical Engineering, Faculty of Engineering, University of Guilan  
\* P.O. Box 3756, Rasht, Iran, MHasanlu@Webmail.Guilan.Ac.Ir

### Abstract

The subject of this study was vibration damping of Timoshenko beam based on finding optimal place and number of piezoelectric sensor and actuator using LQR controller and MOPSO algorithm. Today, researchers make a lot of effort to make a structure have optimized reliable life, manufacturing cost, and power consumption. One of the researches on optimized and controlled smart structure is through using piezoelectric sensor and actuator so that the sensor and actuator can adopt the best controlling interest based on the type of approach to design the controller upon receipt of a vibration by sensor and with the transfer of vibration signals to the controller. Then, it can transfer a proper signal to the actuator. In fact, it is the actuator that tries to neutralize the vibrations of the structure in order to have a structure with longer life and lower failure and can meet the designer's objective in the best way. In this study, using MOPSO algorithm and defining the design variables, the best number and location to place the piezoelectric sensor and actuator at the bottom and top the bottom and top cantilever beam in a specified range can be searched and then an optimal model of smart structure was suggested.

### Keywords

LQR Controller, Vibration Suppression, Timoshenko Beam, Optimal Placement and Number PZT, MOPSO Algorithm.

در این پژوهش نیز هدف این است که یک تیر یکسر گیردار را با روش

عددی اجزاء محدود و مطبق بر تئوری تیموشنکو مدل سازی کرده و آنگاه با استفاده از تکه های حسگر و عملگر پیزوالکتریک که به ترتیب در پایین و بالای تیر در مکان بهینه نصب گردیده بتوان سازه تیر را با استفاده از کنترلر LQR که یک کنترل کننده بهینه منظور است در برابر اختشاشات خارجی که بر تیر اعمال می گردد کنترل گردد. این مقاله با استفاده از الگوریتم بهینه سازی چنددهفه از دحام ذرات چنددهفه یا MOPSO ضرایب ماتریس های Q و R را در بازه های مختلف که در بخش های بعد از اینه می گردد. مکان بهینه حسگر و عملگر پیزوالکتریک را شناسایی و آنگاه جابجا یی دورانی و عرضی سازه را مهار می شود. قیود موردنظر در این بهینه سازی عبارتند از:

### ۱- مقدمه

بهینه سازی در طراحی سازه های مهندسی در چند دهه اخیر از سوی محققین سیار قابل توجه بوده است. بدین جهت که یک سازه مهندسی بتواند با طراحی بهینه خود بتواند عمر، بازدهی، استحکام، کنترل موثرتری در رفع نیازهای بشری قرار بگیرد. سازه های مهندسی شامل تیر- ورق- پوسته مدل یک سازه صنعتی و ادوات مهندسی است که با بکار گیری رویکردهای نوین و کلاسیک مهندسی و علم کنترل سعی در آنالیز بیشتر در رفتارهای دینامیکی و مکانیکی سازه و شناخت رفتار آنهاست. در این حوزه فعالیت های فراوانی از سال های اخیر موردن توجه تحلیل گران قرار گرفته است که می توان بصورت زیر فهرست نمود.

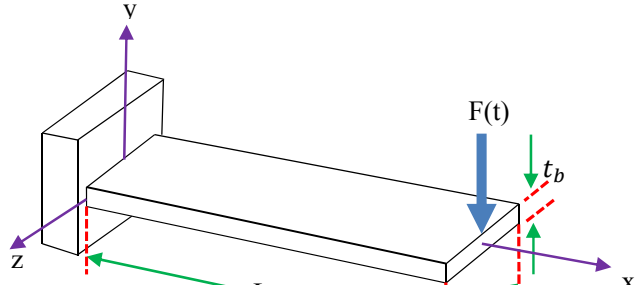
$$\begin{aligned} [N_w]^T &= \begin{bmatrix} \frac{1}{1+\varphi} \left\{ 2 \left( \frac{x}{L} \right)^3 - 3 \left( \frac{x}{L} \right)^2 - \varphi \left( \frac{x}{L} \right) + 1 + \varphi \right\} \\ \frac{1}{1+\varphi} \left\{ \left( \frac{x}{L} \right)^3 - (2 + \frac{\varphi}{2}) \left( \frac{x}{L} \right)^2 - (1 + \frac{\varphi}{2}) \left( \frac{x}{L} \right) \right\} \\ \frac{-1}{1+\varphi} \left\{ 2 \left( \frac{x}{L} \right)^3 - 3 \left( \frac{x}{L} \right)^2 - \varphi \left( \frac{x}{L} \right) \right\} \\ \frac{1}{1+\varphi} \left\{ \left( \frac{x}{L} \right)^3 - (1 - \frac{\varphi}{2}) \left( \frac{x}{L} \right)^2 - \frac{\varphi}{2} \left( \frac{x}{L} \right) \right\} \end{bmatrix} \quad (1) \end{aligned}$$

- ✓ کمینه‌سازی بیشنه جایجایی نوک تیر
- ✓ کمینه‌سازی زمان میرایی

## ۲- مدل سازی

یک تیر یکسرگیردار با اعمال نیروی عرضی بر نوک سازه بصورت زیر فرض می‌کنیم.

$$\begin{aligned} [N_\theta]^T &= \begin{bmatrix} \frac{6}{(1+\varphi)L} \left\{ \left( \frac{x}{L} \right)^2 - \left( \frac{x}{L} \right) \right\} \\ \frac{1}{(1+\varphi)} \left\{ 3 \left( \frac{x}{L} \right)^2 - (4 + \varphi) \left( \frac{x}{L} \right) + 1 + \varphi \right\} \\ \frac{-6}{(1+\varphi)L} \left\{ \left( \frac{x}{L} \right)^2 - \left( \frac{x}{L} \right) \right\} \\ \frac{1}{(1+\varphi)} \left\{ 3 \left( \frac{x}{L} \right)^2 - (2 - \varphi) \left( \frac{x}{L} \right) \right\} \end{bmatrix} \quad (2) \\ M_s &= \int_0^{lb} \begin{bmatrix} [N_w]^T \\ [N_\theta]^T \end{bmatrix} \begin{bmatrix} \rho A & 0 \\ 0 & \rho I \end{bmatrix} \begin{bmatrix} [N_w] \\ [N_\theta] \end{bmatrix} dx \quad (3) \\ [K_s] &= \int_0^L \begin{bmatrix} \frac{\partial}{\partial x} [N_\theta] \\ [N_\theta] + \frac{\partial}{\partial x} [N_w] \end{bmatrix}^T \begin{bmatrix} EI & 0 \\ 0 & KGA \end{bmatrix} \begin{bmatrix} \frac{\partial}{\partial x} [N_\theta] \\ [N_\theta] + \frac{\partial}{\partial x} [N_w] \end{bmatrix} dx \quad (4) \\ C_{smart} &= \alpha M_{smart} + \beta K_{smart} \quad (5) \\ F &= \int_0^{lb} \begin{bmatrix} N_w \\ N_\theta \end{bmatrix}^T f_m dx \quad (6) \end{aligned}$$



شکل ۱ تیر یکسرگیردار با مشخصات هندسی

برای مدل سازی تیر یکسرگیردار براساس روش عددی اجزاء محدود هر المان از تیر را بصورت ۲ بعدی که هر گره دارای ۲ درجه آزادی محاسبه می شود، بیان نمود.

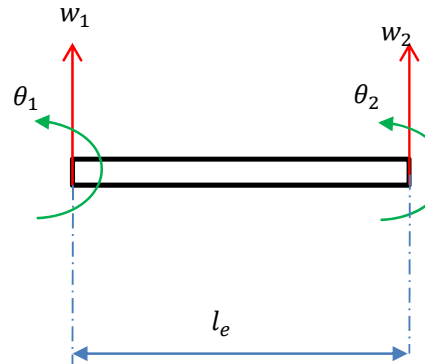
## ۳- مواد پیزوالکتریک

مواد هوشمند، گروهی از مواد می‌باشند که به سبب ویژگی‌های خاصی که دارند، شرایط مختلف محیطی همانند میدان‌های تنش، حرارت، مغناطیس و الکتریسیته را دریافت کرده و نسبت به آنها واکنش نشان می‌دهند. این مواد با توجه به نوع خصوصیاتی که دارند، به عنوان حسگر و یا عملگر در بخش‌های مختلف بکار برده می‌شوند. مواد هوشمند به همراه سیستم‌های کنترلی و سازه‌های نظریه تیر، صفحه و پوسته، سازه‌های هوشمند را تشکیل می‌دهند. این سازه‌ها با استفاده از حسگرهای ساخته شده از مواد هوشمند، شرایط و تغییرات اعمالی از محیط را دریافت کرده و با استفاده از بازخوردهایی که به سیستم کنترلی می‌دهند، توسط عملگرها سازه را تحت کنترل قرار می‌دهند. آلیاژهای حافظه‌دار، سیالات هوشمند، مواد مگنتوستیکیو و الکتروستیکیو و بالاخره مواد پیزوالکتریک گروهی از مواد هوشمند به شمار می‌آیند.

اثر پیزوالکتریک بیان کننده کوپلینگ الکترومکانیکی مستقیم و معکوس می‌باشد. اثر مستقیم، تولید بار الکتریکی در نتیجه اعمال تنش مکانیکی به ماده پیزوالکتریک است و اثر معکوس، تعییر شکل مکانیکی در هنگام قرار گرفتن ماده پیزوالکتریک در یک میدان الکتریکی می‌باشد. برای ماده پیزوالکتریک خطی، با توجه به مرجع [18] روابط (۷) و (۸) که معادلات بنیادین نامیده می‌شوند، رابطه‌ی بین متغیرهای مکانیکی و الکتریکی را بیان می‌کنند.

$$\sigma = c^E S - e^T E \quad (7)$$

$$D = eS + \varepsilon^S E \quad (8)$$



شکل ۲ درجه آزادی یک المان از تیر

از آنجایی که براساس تئوری تیموشنکو اثربخشی در هنگام تغییر شکل مدنظر قرارمی‌گیرد. بنابراین براساس شکل زیر می‌توان تغییر شکل در المان از تیر را بصورت زیر مدنظر قرار داد. بنابراین می‌توان توابع شکل در حالت حرکت عرضی و دورانی برای یک المان از تیر را چنین بیان نمود.

حال با استفاده از روابط زیر که اثر بررشی نیز در آنها مدنظر بوده است می‌توان ماتریس جرم و سفتی و دمپینگ و نیرو سازه را برای یک المان از تیر بیان نمود.[17]

$$\begin{aligned} A &= \left[ \begin{array}{c|c} [0] & [I] \\ -\left[ \begin{array}{c} K_{\text{smart}} \\ M_{\text{smart}} \end{array} \right] & -\left[ \begin{array}{c} C_{\text{smart}} \\ M_{\text{smart}} \end{array} \right] \end{array} \right] \\ B &= \left[ \begin{array}{c} [0] \\ f_e \\ \hline M_{\text{smart}} \end{array} \right] \\ D &= [0] \\ F &= [0] \end{aligned} \quad C = [I]$$

$$E = \left[ \begin{array}{c} [0] \\ f_c \\ \hline M_{\text{smart}} \end{array} \right] \quad (13)$$

**۴- الگوریتم بهینه‌سازی ازدحام ذرات**  
 بهینه‌سازی چنددهدفه تجمعی ذره روش جستجو ابتکاری بوده که حرکات دسته ای از پرنده‌گان را که به دنبال غذا هستند، شبیه‌سازی می‌کند. سادگی و میتی برپایه جمعیت بودن بهینه‌سازی چنددهدفی تجمعی ذره موجب شده است که این روش، روشی متداول در مسائل بهینه‌سازی چنددهدفی باشد. برای بکاربردن روش تجمعی ذره در مسائل بهینه‌سازی چنددهدفی لازم است که الگوریتم اصلی تک هدفی این روش اصلاح شود. هنگام بسط روش تجمعی ذره برای بهینه‌سازی چنددهدفی، لازم است چند پرسش را مورد توجه قرار گیرند [۱۹]:  
 بهترین تجربه‌ی گروهی برای هر ذره چگونه انتخاب می‌شود؟ به عبارت دیگر به چه روشی باید از میان حل‌های غیربرتر این ذرات را برگردید؟ چگونه حل‌های غیربرتر راطی فرآیند جستجو حفظ کرد تا غیربرتر بودن آنها را نه تنها نسبت به جمعیت قبل بلکه نسبت به جمعیت‌های بعدی مورد بررسی قرار داد؟  
 چگونه می‌توان توزیع همگن و یکنواختی از نقاط غیربرتر در سراسر جبهه پارتو داشت؟ چگونه می‌توان تنوع را در جمعیت حفظ کرد بطوری که الگوریتم به یک جواب هگمرا نشود؟  
 بردار موقعیت ذره  $\vec{x}$

$$\vec{x}_i(t+1) = \vec{x}_i(t) + \vec{v}_i(t+1) \quad (14)$$

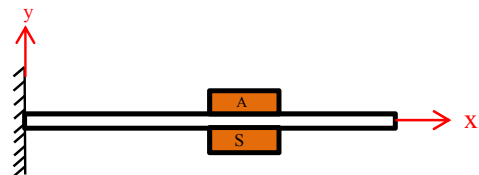
$$\begin{aligned} \vec{v}_i(t+1) &= w \vec{v}_i(t) + C_1 r_1 (\vec{x}_{pbest_i}(t) - \vec{x}_i(t)) \\ &\quad + C_2 r_2 (\vec{x}_{gbest}(t) - \vec{x}_i(t)) \end{aligned} \quad (15)$$

نمودار سرعت ذره  $\vec{v}_i$  می‌باشد.  $r_1, r_2$  مقادیر تصادفی در بازه  $[0, 1]$  و  $w$  ضریب وزن و  $C_1, C_2$  به ترتیب ضرایب یادگیری شخصی و یادگیری جمعی در نظر گرفته شده‌اند.

**۵- کنترل LQR**  
 براساس کنترل LQR (Linear Quadratic Regulator) که به اختصار می‌توان بصورت LQR از آن یاد کرد دارای تابع هدفی است که می‌توان چنین بیان نمود.

$$J = \int (x^T Q x + u^T R u) dt \quad (16)$$

که  $S$  تنش مکانیکی،  $D$  چگالی بار (بار در واحد سطح)،  $S$  کرنش مکانیکی،  $c$  سختی مکانیکی،  $e$  ثابت کرنشی پیزوالکتریک،  $E$  میدان الکتریکی و  $f$  گذردهی الکتریکی می‌باشد. بالاوندهای  $E$  و  $S$  به ترتیب نشان دهنده مقادیر اندازه‌گیری شده در میدان الکتریکی ثابت و کرنش ثابت می‌باشند. معادله (۷)، بیانگر اثر معکوس پیزوالکتریک بوده و معادله (۸) اثر مستقیم پیزوالکتریک را نشان می‌دهد. با استفاده از اثر مستقیم، ماده پیزوالکتریک می‌تواند تغییر شکل‌های مکانیکی را به بارهای الکتریکی تبدیل کند، بنابراین به عنوان حسگر می‌تواند عمل نماید. به طور عکس، ماده پیزوالکتریک می‌تواند در ازای دریافت ولتاژ الکتریکی، تغییر شکل مکانیکی ایجاد کند، لذا می‌توان به عنوان محرك از آن استفاده نمود. به علت وجود همزمان آثار مستقیم و معکوس، مواد پیزوالکتریک می‌توانند به طور همزمان بدون اینکه تغییر قابل ملاحظه‌ای در سفتی و یا وزن سیستم‌ها ایجاد کنند، در سطح آنها چسبیده و با این سیستم‌ها بصورت ترکیبی کار کنند.



شکل ۳ تیر هوشمند با نصب وصله حسگر و عملگر پیزوالکتریک

بنابراین مدل دینامیکی سازه هوشمند را بصورت زیر قابل بازگو می‌باشد.

$$M_{\text{smart}} \ddot{y} + C_{\text{smart}} \dot{y} + K_{\text{smart}} y = f_t \quad (9)$$

که  $f_t$  در اینجا به معنی مجموع نیروی خارجی و نیرویی خواهد بود که از سوی عملگر پیزوالکتریک در آن نقطه‌ای از تیر که قرار می‌گیرد، اعمال می‌شود یعنی

$$f_t = f_e + f_c \quad (10)$$

حال براساس روش فضای حالت می‌توان سیستم هوشمند را چنین بیان نمود.

$$\dot{y} = Ay + Bu + Ev \quad (11)$$

$$z = Cy + Du + Fv \quad (12)$$

که در این توصیف  $u$  به معنای ورودی خارجی که بصورت تابعی از زمان و بصورت متناوب و غیرمتناوب است، درنظر گرفت و  $v$  ورودی است که بصورت ولتاژ از سوی کنترلر به عملگر پیزوالکتریک اعمال می‌شود تا تغییر شکل در المان عملگر اتفاق بیفتد و جلوی ارتعاش سازه را بگیرد و همچنین بدلیل خودتحریک نبودن خود سازه، ماتریس‌های  $D$  و  $F$  بعنوان یک ماتریس نول یا پوج مطرح می‌گردد. بنابراین ماتریس‌های موجود در فضای حالت سیستم تیر هوشمند را می‌توان بصورت زیر توصیف نمود.

جدول ۲ مشخصات پیزوالکتریک

| پارامتر  |                 | مقدار                              |
|----------|-----------------|------------------------------------|
| $l_p$    | طول پیزوالکتریک | 0.125m                             |
| $b_p$    | پهنا            | 0.024m                             |
| $t_p$    | ضخامت           | 0.5mm                              |
| $E_p$    | مدول یانگ       | 68GPa                              |
| $\rho_p$ | دانسیته         | 7700kg/m³                          |
| $d_{31}$ | ثابت کرنشی      | $125 \times 10^{-12} \text{m/V}$   |
| $g_{31}$ | ثابت تنشی       | $10.5 \times 10^{-13} \text{Vm/N}$ |

که هدف کمینه‌سازیتابع J است که ماتریس‌های Q و R بصورت زیر می‌توان بیان نمود.

$$Q = \begin{bmatrix} \alpha_1 [w_i^2] & [0] \\ [0] & \alpha_2 [I] \end{bmatrix} \quad R = \gamma [I] \quad (17)$$

که در این مقاله ضرایب  $\alpha_1$ ،  $\alpha_2$  و  $\gamma$  در بازه‌های متفاوت سیستم هوشمند کنترل شده‌است و بصورت نمودارهایی قابل ارائه می‌باشد. بهره کنترلی کنترلر LQR نیز بصورت زیر قبل محاسبه می‌باشد.

$$K = R^{-1} E^T P \quad (18)$$

که ماتریس P با استفاده از معادله ریکاتی که بصورت زیر است بدست می‌آید.

$$A^T P + PA - PBR^{-1}B^T P + Q = 0 \quad (19)$$

حال ورودی u که در معادله فضای حالت بصورت زیر بیان می‌شود.

$$u = -K_{LQR}y \quad (20)$$

و بعبارتی ورودی u در معادله ۲۰ را می‌توان بصورت زیر بیان نمود.

$$v(x, t) = -K_{LQR}y(x, t) \quad (21)$$

بنابراین نیروی اعمالی از سوی عملگر در معادله فضای حالت می‌توان بصورت روابط زیر بیان نمود.

$$f_{pzt} = K_{LQR} \left[ d_{31}^2 b^2 \bar{z} Z \left( \int_0^{l_e} N_\theta dx \right) \left( \int_0^{l_e} N_a dx \right) \right] \quad (22)$$

که  $N_a$  بعنوان تابع شکل شتاب برای یک المان از تیر درنظر گرفت.

$$N_a = \frac{\partial^2 N_w}{\partial x^2} \quad (23)$$

## ۶- شبیه‌سازی

در این بخش ابتدا به معرفی مدل‌های پیشنهادی جهت انجام فرآیند شبیه‌سازی معرفی می‌گردد و سپس براساس نوع ورودی‌های متنابض و غیرمتنابض نتایج خروجی موردنیاز ارائه می‌گردد.

خاص مکانیکی و هندسی تیر و حسگر و عملگر پیزوالکتریک که در این مقاله ار آنها استفاده شده‌اند بصورت زیر می‌توان اشاره نمود.

**۷- ورودی Impulse**  
در اثر این ورودی در این شبیه‌سازی تنها آن مدل‌هایی که کنترل گردیده‌اند به نمایش گذاشته شده‌است. در این شبیه‌سازی ویژگی‌های الگوریتم بهینه‌سازی را بصورت زیر مدنظر قرارداده شده‌اند.  
ضرایب بکارگرفته شده در شبیه‌سازی براساس مرجع [20] بصورت روابط (۲۴) تا (۲۹) در نظر گرفته شده‌اند.

$$\phi_1 = \phi_2 = 2.05 \quad (24)$$

$$\phi = \phi_1 + \phi_2 \quad (25)$$

$$\chi = \frac{2}{(\phi - 2 + \sqrt{\phi^2 - 4\phi})} \quad (26)$$

$$w = \chi \quad (27)$$

$$C_1 = \chi \phi_1 \quad (28)$$

$$C_2 = \chi \phi_2 \quad (29)$$

در الگوریتم بهینه‌سازی از دحام ذرات چنددهفه یک سری مشخصات اصلی برای انجام عملیات بهینه‌سازی برخوردار می‌باشد که می‌توان بصورت جدول زیر ارائه نمود.

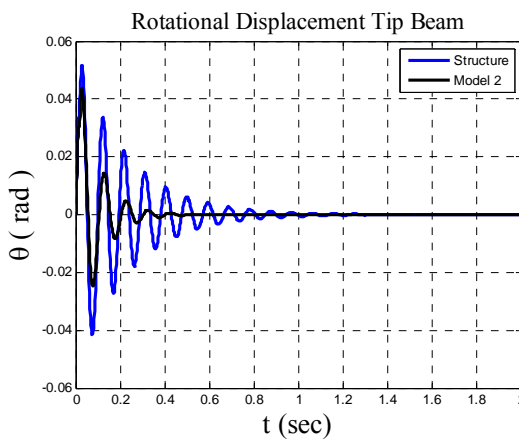
جدول ۳ مشخصات اصلی الگوریتم بهینه‌ساز

| تعداد                   | مقدار |
|-------------------------|-------|
| تکرار عملیات بهینه‌سازی | ۱۰    |
| جمعیت ذرات              | ۱۰۰   |
| مخزن اعضای نخبه         | ۱۰۰   |

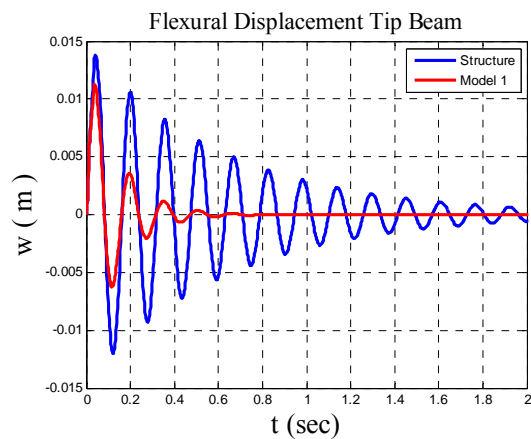
تمامی عملیات شبیه‌سازی براین اساس شکل گرفته است. در این پژوهش هدف کنترل سازه در برابر جایجایی‌های بی مورد بوده سعی گردیده تمامی نمودارها بیانگر جایجایی نوک تیر در برابر ورودی‌های مرتبط نمایش داده شود که دلیل اصلی آن این است که نوک تیر بیشترین جایجایی را دارد و عنوان نقطه بحرانی در طراحی مدنظر قرار داد چرا که کنترل نقطه‌ای که بیشترین جایجایی را داراست بالطبع هزینه کمتر و طراحی بهینه‌تری را بدبناش خواهد داشت.

جدول ۱ مشخصات تیر شبیه‌سازی شده

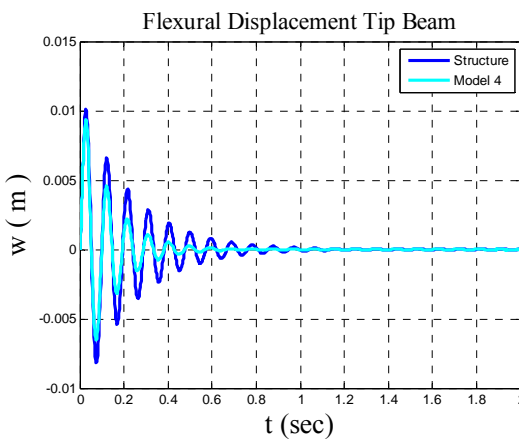
| پارامتر          | مقدار        |               |
|------------------|--------------|---------------|
| L                | طول تیر      | 0.5 m         |
| b                | پهنا         | 0.024 m       |
| $E_b$            | مدول یانگ    | 193.096 GPa   |
| $\rho_b$         | دانسیته      | 8030 kg/m³    |
| $\alpha & \beta$ | ثوابت دمپینگ | 0.001, 0.0001 |
| $t_b$            | ضخامت        | 1 mm          |



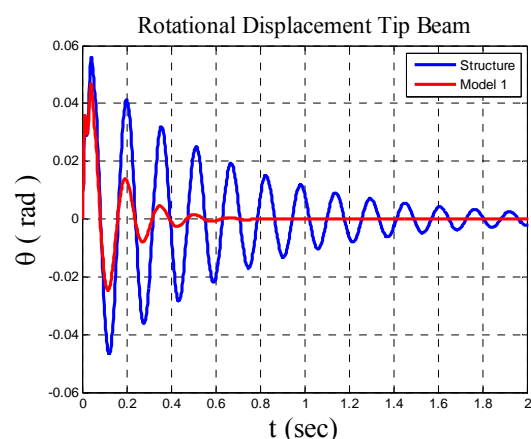
شکل ۷ جابجایی دورانی در اثر ورودی پله در مدل ۲



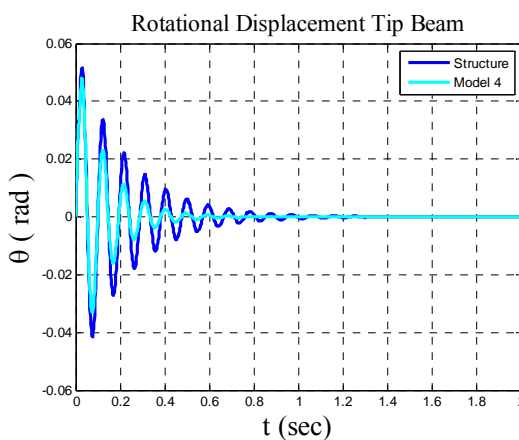
شکل ۴ جابجایی عرضی در اثر ورودی پله در مدل ۱



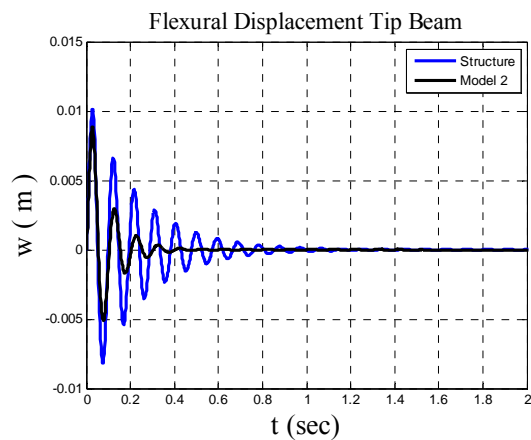
شکل ۸ جابجایی عرضی در اثر ورودی پله در مدل ۴



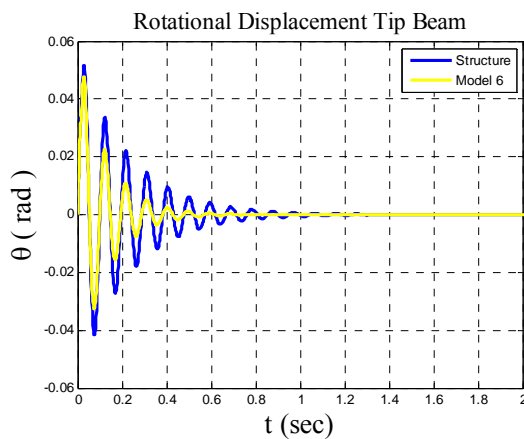
شکل ۵ جابجایی دورانی در اثر ورودی پله در مدل ۱



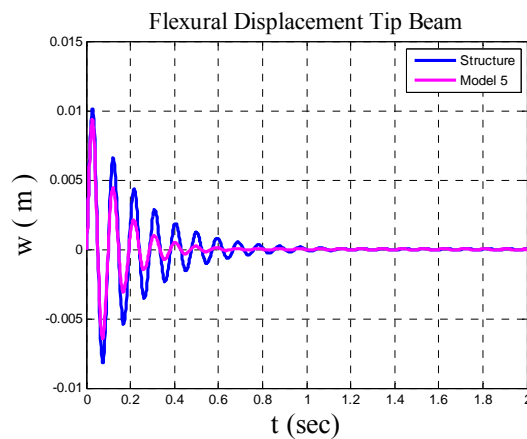
شکل ۹ جابجایی دورانی در اثر ورودی پله در مدل ۴



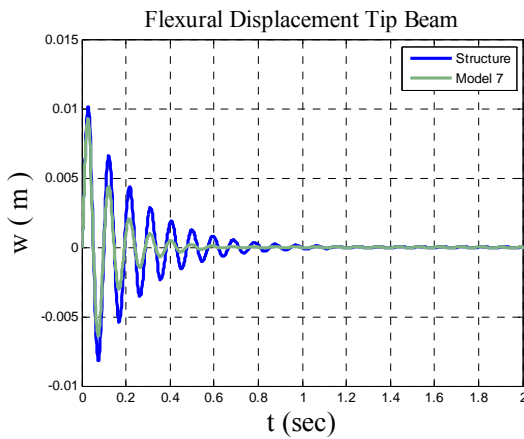
شکل ۶ جابجایی عرضی در اثر ورودی پله در مدل ۲



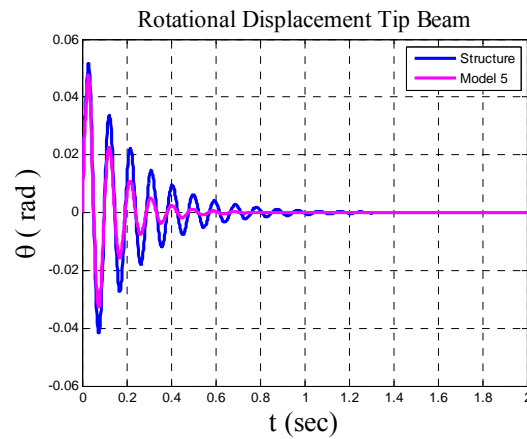
شکل ۱۳ جابجایی دورانی در اثر ورودی پله در مدل ۶



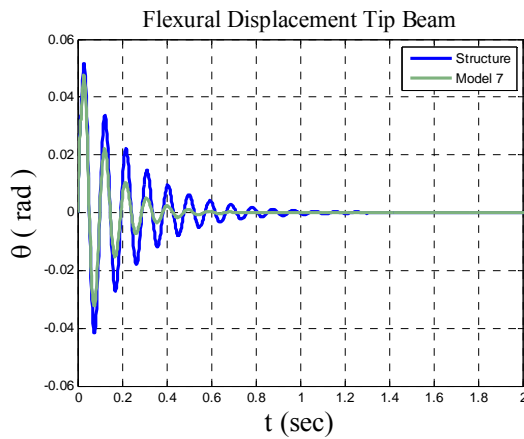
شکل ۱۰ جابجایی عرضی در اثر ورودی پله در مدل ۵



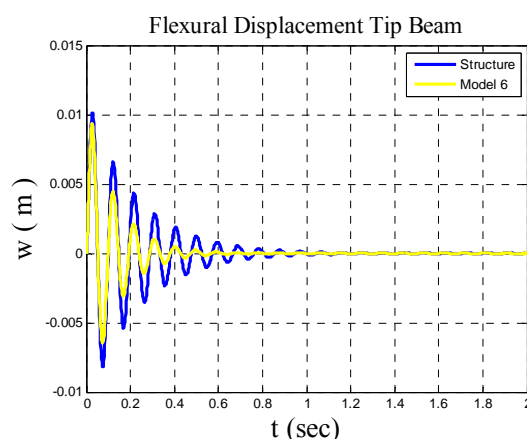
شکل ۱۴ جابجایی عرضی در اثر ورودی پله در مدل ۷



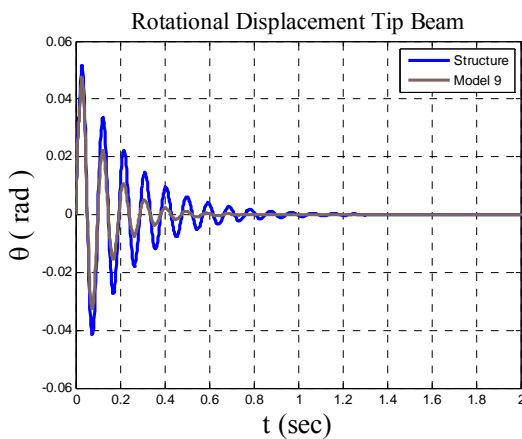
شکل ۱۱ جابجایی دورانی در اثر ورودی پله در مدل ۵



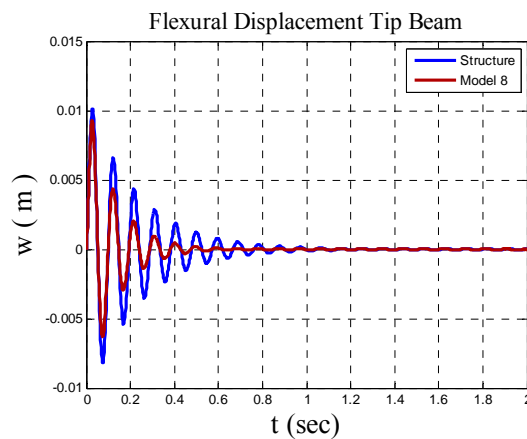
شکل ۱۵ جابجایی دورانی در اثر ورودی پله در مدل ۷



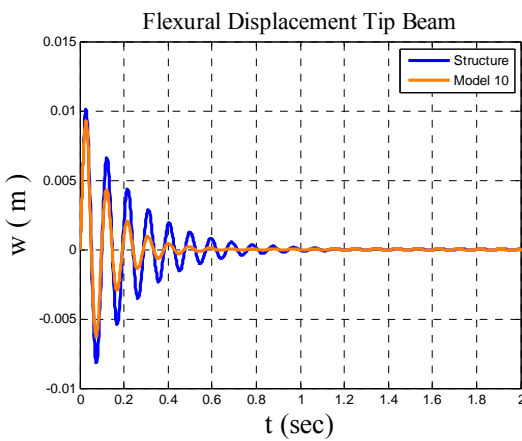
شکل ۱۲ جابجایی عرضی در اثر ورودی پله در مدل ۶



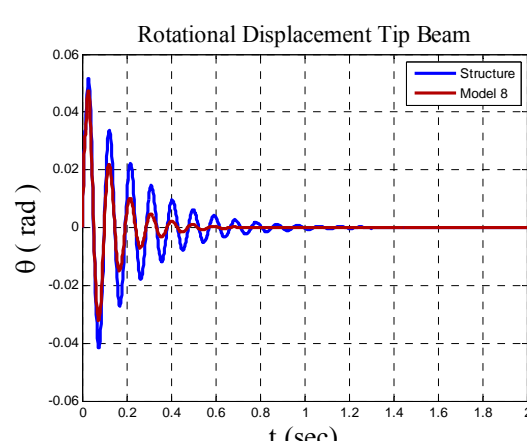
شکل ۱۹ جابجایی دورانی در اثر ورودی پله در مدل ۹



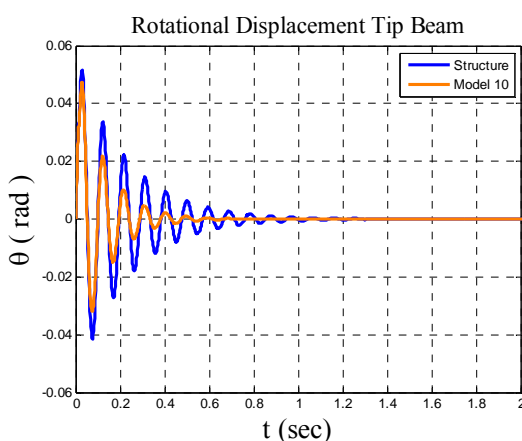
شکل ۱۶ جابجایی عرضی در اثر ورودی پله در مدل ۸



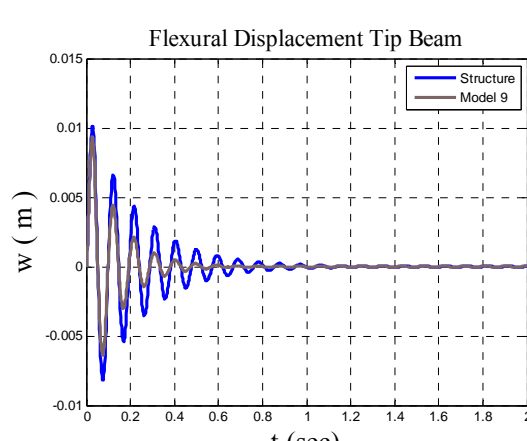
شکل ۲۰ جابجایی عرضی در اثر ورودی پله در مدل ۱۰



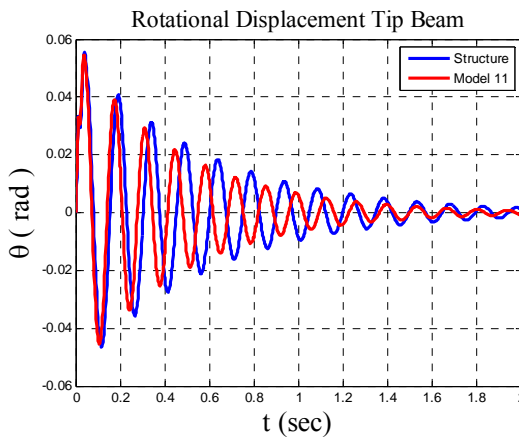
شکل ۱۷ جابجایی دورانی در اثر ورودی پله در مدل ۸



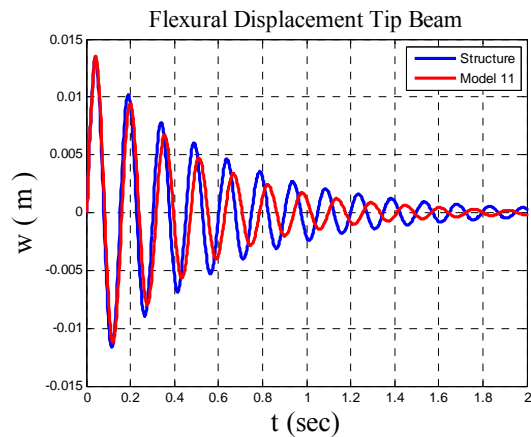
شکل ۲۱ جابجایی دورانی در اثر ورودی پله در مدل ۱۰



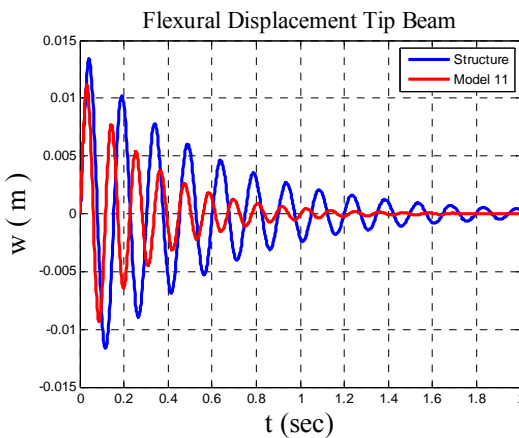
شکل ۱۸ جابجایی عرضی در اثر ورودی پله در مدل ۹



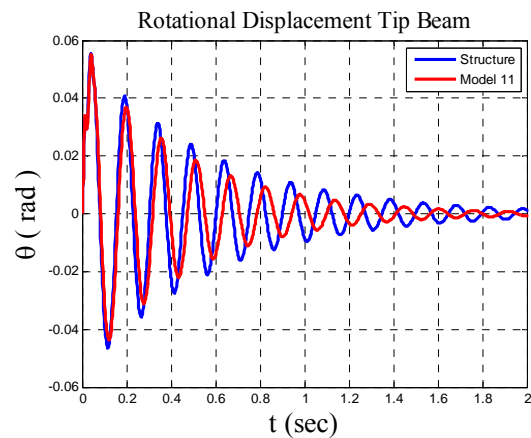
شکل ۲۵ جابجایی دورانی در اثر ورودی پله در مدل ۱۱-۱



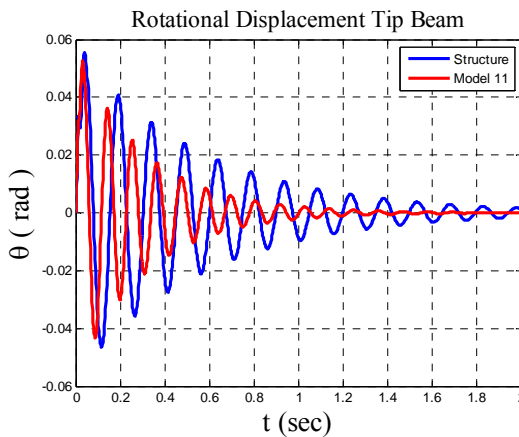
شکل ۲۲ جابجایی عرضی در اثر ورودی پله در مدل ۱۱



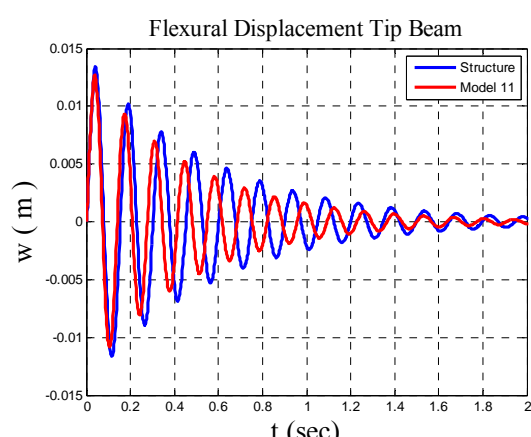
شکل ۲۶ جابجایی عرضی در اثر ورودی پله در مدل ۱۱-۲



شکل ۲۳ جابجایی دورانی در اثر ورودی پله در مدل ۱۱



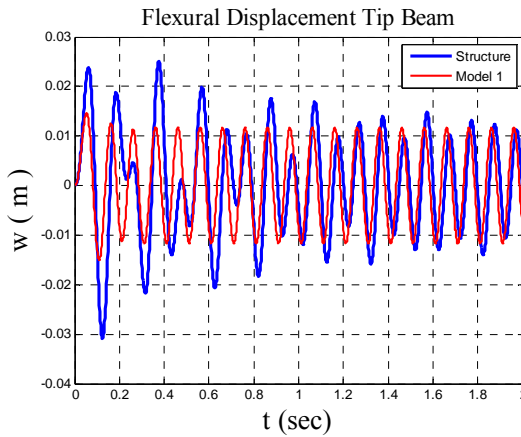
شکل ۲۷ جابجایی دورانی در اثر ورودی پله در مدل ۱۱-۲



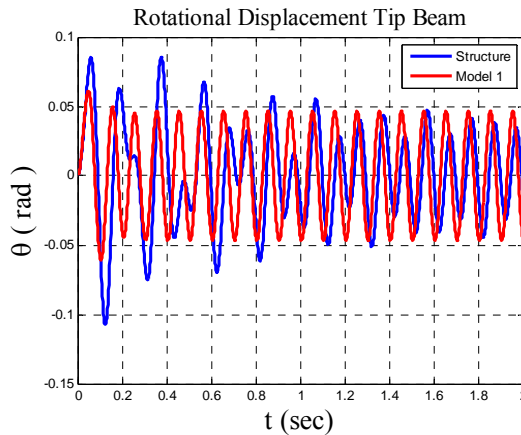
شکل ۲۴ جابجایی عرضی در اثر ورودی پله در مدل ۱۱-۱

**-۸ ورودی Sinusoidal**

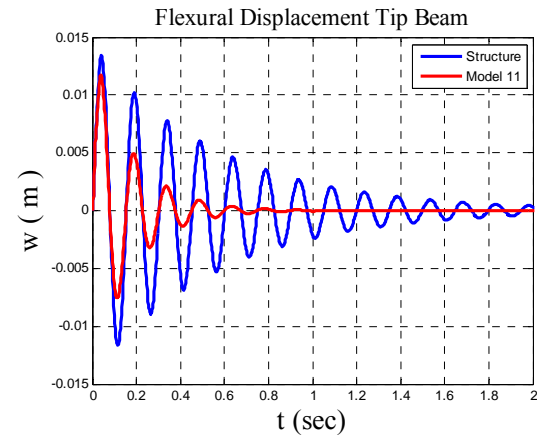
ورودی Sinusoidal بعنوان یک ورودی متناظر می‌تواند معرف مدلی از پسیاری از اثرات طبیعی بر روی سازه مدنظر قرار گیرد و در اینجا با اعمال یک ورودی Sinusoidal بر نوک سازه با دامنه و فاز مشخص سعی بر کنترل سازه و کاهش ارتعاشات سازه در برابر این نوع اختشاش شده است.



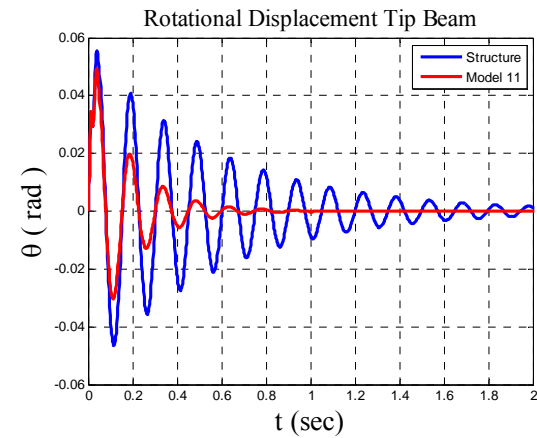
شکل ۲۸ جابجایی عرضی در اثر ورودی Sinusoidal در مدل ۱-۱



شکل ۲۹ جابجایی دورانی در اثر ورودی Sinusoidal در مدل ۱-۱



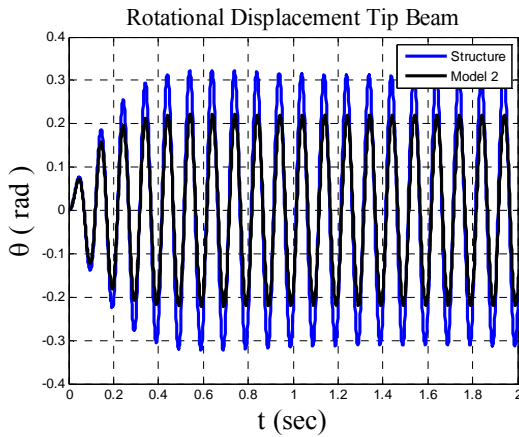
شکل ۳۰ جابجایی عرضی در اثر ورودی پله در مدل ۱۱-۳



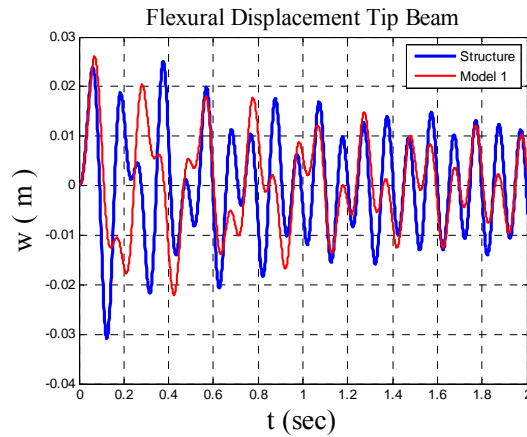
شکل ۳۱ جابجایی دورانی در اثر ورودی پله در مدل ۱۱-۳

جدول ۴ مقادیر استخراج شده در اثر بهینه‌سازی سیستم کنترلی

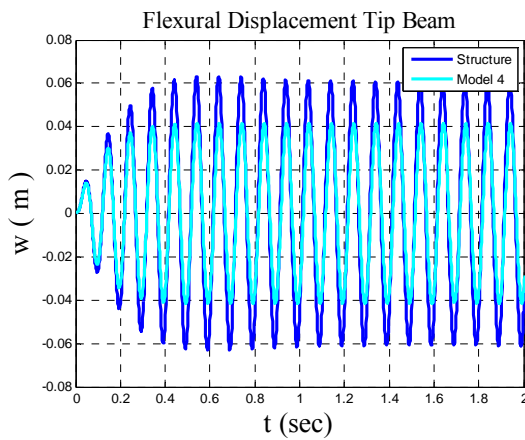
| مدل  | الان<br>PZT | لرایب کنترلر |            |          | ماکریم<br>جابجایی نوک<br>تیر<br>(متر) | زمان<br>میرایی<br>(ثانیه) |
|------|-------------|--------------|------------|----------|---------------------------------------|---------------------------|
|      |             | $\alpha_1$   | $\alpha_2$ | $\gamma$ |                                       |                           |
| 1    | 13          | 604.2985     | 387.5631   | 0.066536 | 8.3913e-05                            | 0.26753                   |
| 2    | 19          | 1886.6794    | 1858.2992  | 1.0851   | 8.5823e-05                            | 0.43686                   |
| 3    | 20          | 3537.6097    | 3412.9491  | 3.9641   | 8.5026e-05                            | 0.55356                   |
| 4    | 20          | 4804.689     | 4158.5758  | 4.7522   | 8.1688e-05                            | 0.60359                   |
| 5    | 20          | 5872.0912    | 5080.8585  | 5.85     | 7.7379e-05                            | 0.60451                   |
| 6    | 20          | 6944.5361    | 6459.3615  | 6.7905   | 8.7036e-05                            | 0.55623                   |
| 7    | 20          | 7682.245     | 7644.0048  | 7.4967   | 7.8245e-05                            | 0.55825                   |
| 8    | 20          | 8041.0787    | 8711.928   | 8.6436   | 8.1639e-05                            | 0.60198                   |
| 9    | 20          | 9503.9392    | 9479.8325  | 9.1054   | 8.6024e-05                            | 0.59897                   |
| 10   | 13          | 225.8495     | 906.3598   | 1.7505   | 8.8095e-05                            | 0.87132                   |
| 11-1 | 15          | 483.0587     | 587.0186   | 80.2612  | 8.4592e-05                            | 2.2938                    |
| 12-2 | 18          | 315.5688     | 203.4529   | 26.0347  | 8.5097e-05                            | 1.4828                    |
| 13-3 | 14          | 628.3994     | 476.5575   | 0.19584  | 8.8095e-05                            | 0.87132                   |



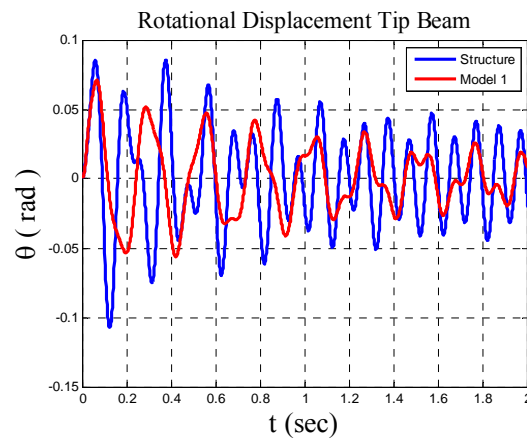
شکل ۳۵ جابجایی دورانی در اثر ورودی Sinusoidal در مدل ۲



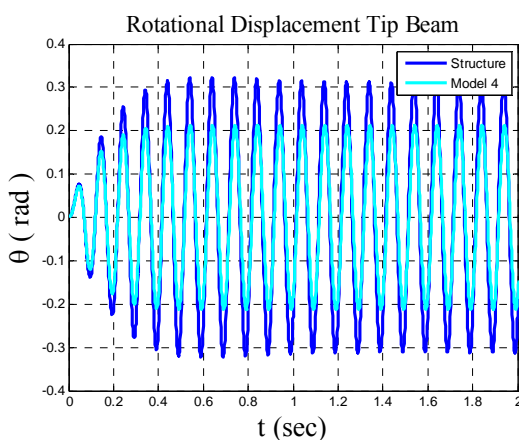
شکل ۳۲ جابجایی عرضی در اثر ورودی Sinusoidal در مدل ۱-۲



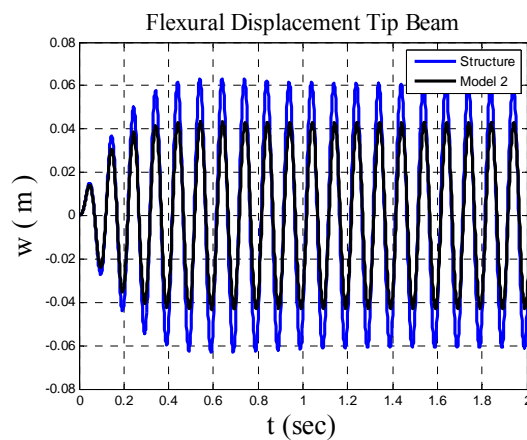
شکل ۳۶ جابجایی عرضی در اثر ورودی Sinusoidal در مدل ۴



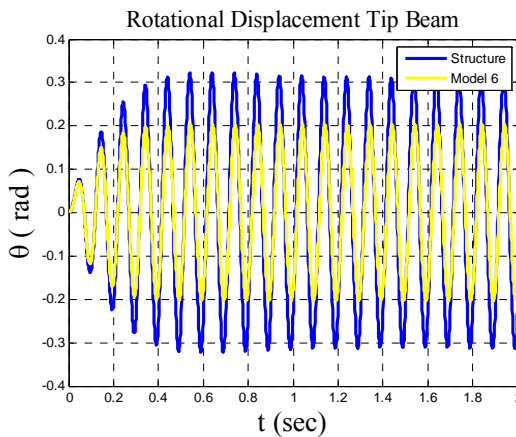
شکل ۳۳ جابجایی دورانی در اثر ورودی Sinusoidal در مدل ۱-۲



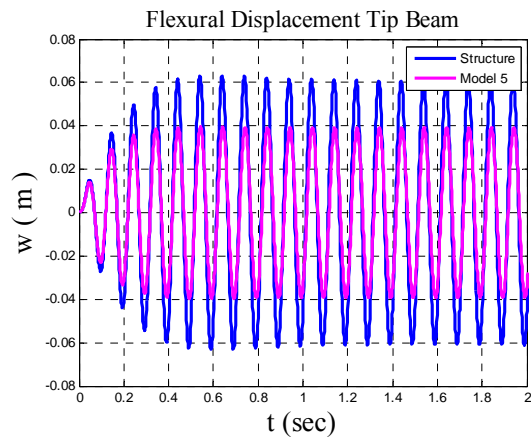
شکل ۳۷ جابجایی دورانی در اثر ورودی Sinusoidal در مدل ۴



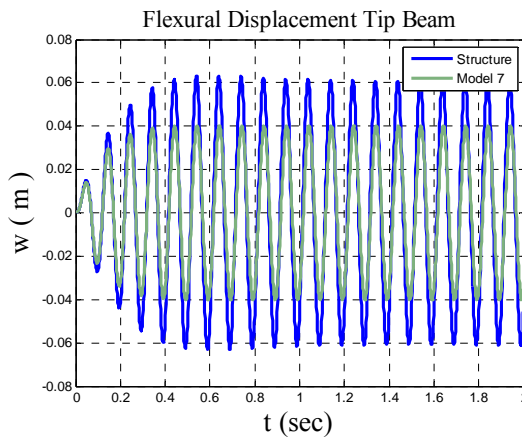
شکل ۳۴ جابجایی عرضی در اثر ورودی Sinusoidal در مدل ۲



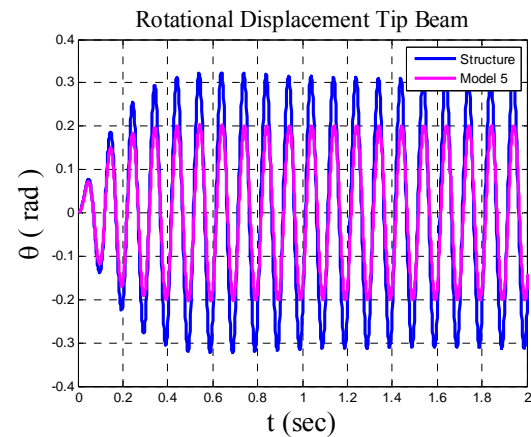
شکل ۴۱ جابجایی دورانی در اثر ورودی Sinusoidal در مدل ۶



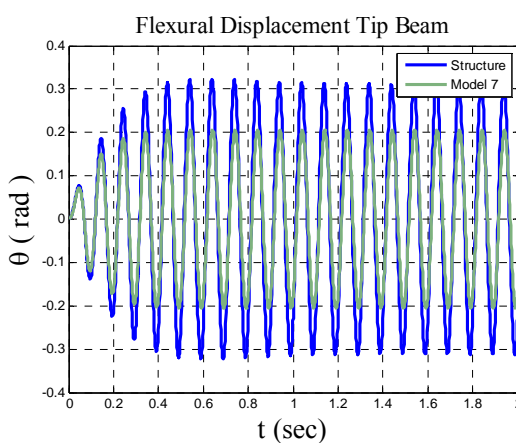
شکل ۴۸ جابجایی عرضی در اثر ورودی Sinusoidal در مدل ۵



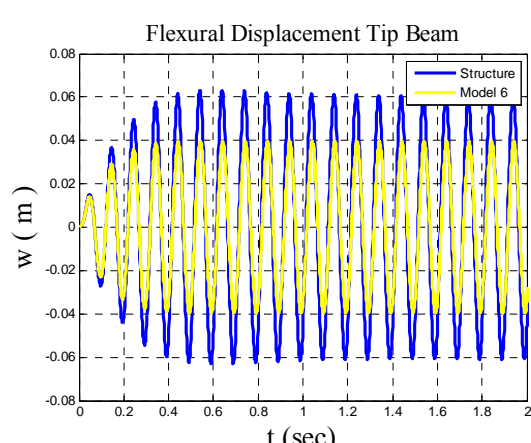
شکل ۴۲ جابجایی عرضی در اثر ورودی Sinusoidal در مدل ۷



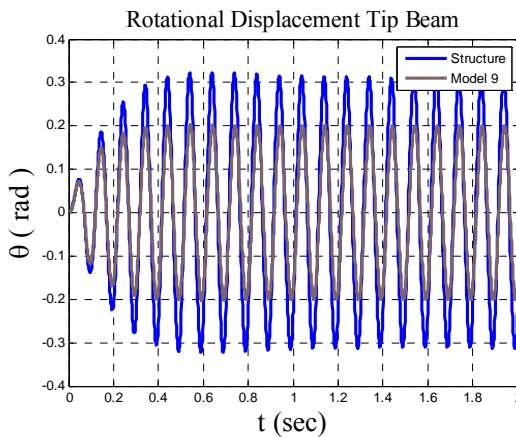
شکل ۴۹ جابجایی دورانی در اثر ورودی Sinusoidal در مدل ۵



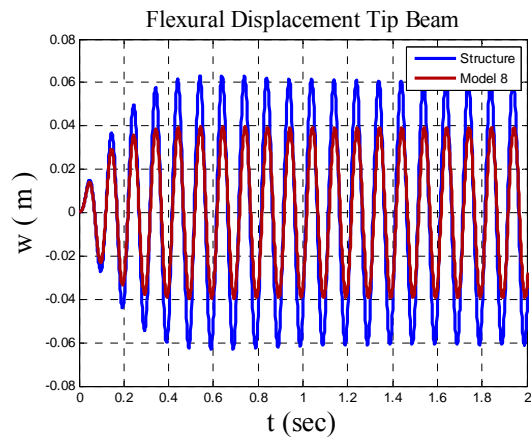
شکل ۴۳ جابجایی دورانی در اثر ورودی Sinusoidal در مدل ۷



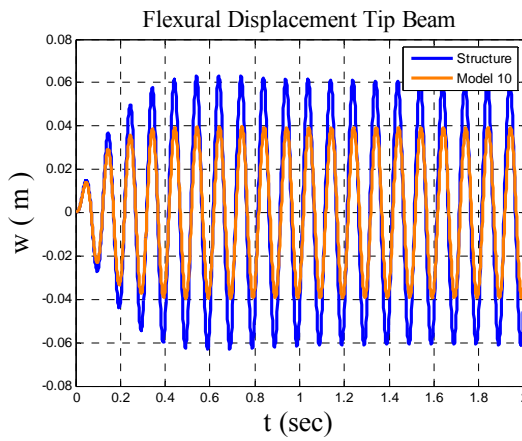
شکل ۴۰ جابجایی عرضی در اثر ورودی Sinusoidal در مدل ۶



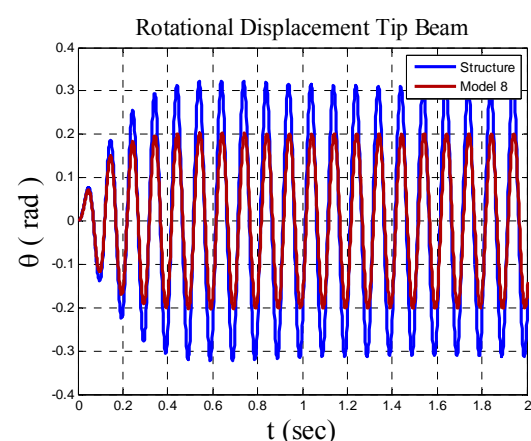
شکل ۴۷ جابجایی دورانی در اثر ورودی Sinusoidal در مدل ۹



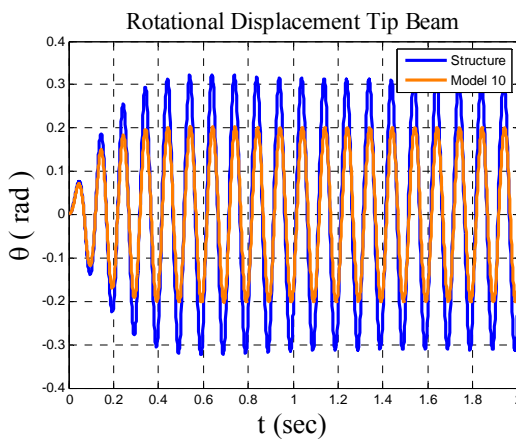
شکل ۴۴ جابجایی عرضی در اثر ورودی Sinusoidal در مدل ۸



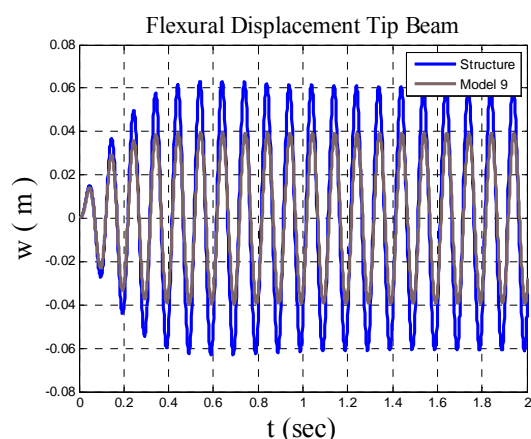
شکل ۴۸ جابجایی عرضی در اثر ورودی Sinusoidal در مدل ۱۰



شکل ۴۵ جابجایی دورانی در اثر ورودی Sinusoidal در مدل ۸



شکل ۴۹ جابجایی دورانی در اثر ورودی Sinusoidal در مدل ۱۰



شکل ۴۶ جابجایی عرضی در اثر ورودی Sinusoidal در مدل ۹

- Vibration Control based on GA and Modal LQR, Computers and Structures, 128(2013)101-115.
- [14] D.Chhabra, G.Bhushan, P.Chandra, Optimal Placement of Piezoelectric Actuators on Plate Structures for Active Vibration Control Using Modified Control Matrix and Singular Value Decomposition Approach, International Journal of Mechanical, Industrial Science and Engineering, Vol.7, No.3, 2013.
- [15] S.Wrona, M.Pawelczyk, Controllability Oriented Placement of Actuators for Active Noise Vibration Control of Rectangular Plate Using a Memetic Algorithm, Vol.38, No.4, pp.529-526(2013).
- [16] S.Wrona, M.Pawelczyk, Application of a Memetic Algorithm to Placement to Placement of Sensors for Active Noise Vibration Control, Mechanic and Control, Vol.32, No.3, 2013.
- [17] T.C.Manjunath, B.Bandyopadhyay, Vibration Control of Timoshenko Smart Structure Using Multirate Ouput Feedback Based Discrete Sliding Mode Control for SISO Systems, Journal Sound and Vibration, 326:50-74, 2009.
- [18] H.H.Ning, Optimal Number and Placements of Piezoelectric Patch Actuators in Structural Active Vibration Control, Engineering Computations, Vol.21, No.6, pp.601-665, 2004.
- [19] Jae.Hung Han, In.Lee, Optimal Placement of Piezoelectric Sensors and Actuators for Vibration Control of a Composite Plate Using Genetic Algorithms, Smart Material and Structures, 8(1999)257-267.
- [20] M.Clerc, J.Kennedy, The Particle Swarm-Explosion Stability and Convergence in a Multidimensional Complex Space, IEEE Transaction on Evolutionary Computation, Vol.6, No.1, February 2002.2004.

جدول ۵ مقادیر استخراج شده در اثر بهینه‌سازی سیستم کنترلی

| مدل | المان<br>PZT | ضوابط کنترل LQR |            |          | ماکریم<br>جایگاهی<br>نوك تير<br>(متر) | ولتاز<br>عملگر<br>(ولت) |
|-----|--------------|-----------------|------------|----------|---------------------------------------|-------------------------|
|     |              | $\alpha_1$      | $\alpha_2$ | $\gamma$ |                                       |                         |
| 1   | 12           | 845.499         | 63.0386    | 0.00770  | 0.02599                               | 98.52                   |
| 2   | 6            | 426.8358        | 912.0218   | 0.76403  | 0.01476                               | 150                     |
| 3   | 20           | 1317.4509       | 1508.541   | 1.8627   | 0.03378                               | 150                     |
| 4   | 20           | 3107.8693       | 3665.187   | 3.8269   | 0.03764                               | 150                     |
| 5   | 20           | 4860.9101       | 4169.554   | 4.3074   | 0.03811                               | 150                     |
| 6   | 20           | 5446.4577       | 5188.711   | 5.1301   | 0.03833                               | 150                     |
| 7   | 20           | 6905.9012       | 6139.9     | 6.6891   | 0.03843                               | 150                     |
| 8   | 20           | 7567.892        | 7815.328   | 7.3212   | 0.03865                               | 150                     |
| 9   | 20           | 8924.5178       | 8159.666   | 8.135    | 0.03904                               | 150                     |
| 10  | 20           | 9451.7392       | 9609.857   | 9.0594   | 0.03928                               | 150                     |

## مراجع

- [1] S.T.Quek, S.Y.Wang, K.K.Ang, Vibration Control of Composite Plates via Optimal Placement of Piezoelectric Patches, Journal of Intelligent Material Systems and Structures, Vol.14, 2003.
- [2] H.Y.Gua, L.Zhang, L.L.Zhang, J.X.Zhou, Optimal Placement of Sensors for Structural Health Monitoring Using Improved Genetic Algorithms, Smart Material and Structures.
- [3] A.S.de Oliveira, J.J.L.Junior, Placement Optimization of Piezoelectric Actuators in a Simply Supported Beam Through SVD Analysis and Shape Function Critic Point, 6<sup>th</sup> World Congress of Structural and Multidisciplinary Optimization, Rio de Janeiro, Brazil, 2005.
- [4] S.Y.Wang, K.Tai, S.T.Quek, Topology Optimization of Piezoelectric Sensors/Actuators for Torsional Vibration Control of Composite Plates, Smart Materials and Structures, 15(2006)253-269.
- [5] Z.C.Qiu, X.M.Zhang, H.X.Wu, H.H.Zhang, Optimal Placement and Active Vibration Control for Piezoelectric Smart Flexible Cantilever Plate, Journal of Sound and Vibration, 301(2007)521-543.
- [6] T.Roy, D.Chakraborty, GA-LQR Based Optimal Vibration Control of Smart FRP Composite Structures with Bonded PZT Patches, Journal of Reinforced Plastics and Composites, 28:1383, 2009.
- [7] M.R.Safizadeh, I.Z.mat Darus, M.Mailah, Optimal Placement of Piezoelectric Actuator for Active Vibration Control of Flexible Plate, Faculty of Mechanical Engineering Universiti Technologi Malaysia (UTM) 81310 Skudai, Johor, Malaysia.
- [8] V.Gupta, M. Sharma, N.Thakur, Optimization Criteria for Optimal Placement of Piezoelectric Sensors and Actuators on a Smart Structure: A Technical Review, Journal of Intelligent Material Systems and Structures, Vol.21, 2010.
- [9] 9-F.Bachmann, A.E.Bergamini, P.Ermanni, Optimum Piezoelectric Patch Positioning: A Strain Energy-Based Finite Element Approach, Journal of Intelligent Material Systems and Structures 2012 23:1576.
- [10] 10- J.Zhang, L.He, E.Wang, Active Vibration Control of Piezoelectric Intelligent Structures, Journal of Computers, Vol.5, No.3, 2010.
- [11] J.M.Hale, A.H.Daraji, Optimal Placement of Sensors and Actuators for Active Vibration Reduction of A Flexible Structure Using A Genetic Algorithm Based on Modified  $H_\infty$ , Modern Practice in Stress and Vibration Analysis, Journal of Physics, Conference Series 382(2012)012036.
- [12] N.D.Zoric, A.M.Simonovic, Z.S.Mitrovic, S.N.Stuper, Multi-Objective Fuzzy Optimization of Sizing and Location of Piezoelectric Actuators and Sensors, FME Transactions (2012)40, 1-9.
- [13] S.L.Schulz, H.M.Gomes, A.M.Awruch, Optimal Discrete Piezoelectric Patch Allocation on Composite Structures for